

# 高浓度铝酸钠溶液的光谱<sup>①</sup>

邱国芳 陈念贻

(中科院上海冶金研究所, 上海 200050)

阎立诚 李 郁

(上海大学化学系, 上海 201800)

**摘要** 研究了高浓度铝酸钠溶液紫外、红外和 Raman 光谱的特征峰, 并与从中析出的含水铝酸钠固体的光谱对照, 结果表明高浓度的铝酸钠溶液除含  $\text{Al}(\text{OH})_4^-$ 、 $[(\text{HO}_2\text{Al}-\text{O}-\text{Al}(\text{OH})_2)]^{2-}$  外, 尚存在其他的由  $\text{AlO}_4$  四面体组成的寡聚铝酸离子。

**关键词** 紫外 红外 Raman NMR 光谱

铝酸钠溶液是氧化铝生产的主要中间产物, 其离子组成甚为复杂多变。Moolenaar<sup>[1]</sup>和我们<sup>[2, 3]</sup>对不同浓度和制备时间的铝酸钠溶液的光谱和波谱研究表明: 稀溶液中主要含有  $\text{Al}(\text{OH})_4^-$  离子, 浓溶液中也有  $[(\text{HO}_2\text{Al}-\text{O}-\text{Al}(\text{OH})_3)]^{2-}$ , 即二聚离子, 高苛性溶液中还有少量  $\text{Al}(\text{OH})_6^{3-}$  离子。

为了解释  $\text{Al}_2\text{O}_3 \cdot 3\text{H}_2\text{O}$  溶解度曲线的转折, Kuznetsov<sup>[4]</sup>认为: 高浓度溶液含有  $[\text{AlO}(\text{OH})]_m^{m-}$  一类聚合离子, 但其存在尚缺乏有力的证明。

高浓度铝酸钠溶液能析出几种含水铝酸钠固相, 包括  $\text{Na}_2\text{O} \cdot \text{Al}_2\text{O}_3 \cdot 2.5\text{H}_2\text{O}$  ( $\alpha$  相) 和  $3\text{Na}_2\text{O} \cdot \text{Al}_2\text{O}_3 \cdot 6\text{H}_2\text{O}$  ( $\beta$  相) 等。

本工作对比高浓度铝酸钠溶液(特别是  $\alpha$  相和  $\beta$  相初晶区的高浓度过饱和溶液)和  $\alpha$ 、 $\beta$  相等固体化合物的光谱, 探讨了高浓度铝酸钠溶液存在其他聚合铝酸离子的可能性。

## 1 实验方法

### 1.1 铝酸钠溶液的制备

高浓度铝酸钠溶液可用高纯铝溶入高浓度  $\text{NaOH}$  溶液制备。用此法可制备高浓度过饱和溶液(例如含  $\text{Al}_2\text{O}_3$  612 g/L、 $\text{Na}_2\text{O}$  558 g/L 或

744 g/L 的溶液), 在聚乙烯瓶中常温密封保存, 用去离子水稀释浓铝酸钠溶液, 得到各种浓度的铝酸钠溶液。

### 1.2 含水铝酸钠固体的合成

加固体  $\text{NaOH}$  于浓铝酸钠溶液, 加热、溶解, 制成质量比为  $\text{Na}_2\text{O} : \text{Al}_2\text{O}_3 : \text{H}_2\text{O} = 2.18 : 1 : 3.63$  的溶液。冷却后析出固体  $\alpha$  相, 过滤, 用无水乙醇洗涤, 抽滤, 吹干, 密封保存。加固体  $\text{NaOH}$  于浓铝酸钠溶液, 加热、溶解, 制成质量比为  $\text{Na}_2\text{O} : \text{Al}_2\text{O}_3 : \text{H}_2\text{O} = (2.97 \sim 3.98) : 1 : (3.57 \sim 3.79)$  的溶液。冷却后析出固体  $\beta$  相, 用滤纸吸干母液, 密封保存。

### 1.3 紫外、红外、Raman 和 NMR 谱的测量

用 PERKIN ELMER System 200 FT-IR 红外光谱仪测溶液的红外光谱, 以空气为本底, KRS-5 作窗口材料。

固体的红外光谱由美国 Nicolet 7199-C 傅里叶变换红外光谱仪测得。

用岛津 2100 S 紫外光谱仪, 以氘灯为光源、去离子水为参比溶液测紫外光谱。

用 Brucker MSL-300 型 NMR 波谱仪, 在 78.17 MHz 磁场下, 以 1 mol/L  $\text{AlCl}_3$  水溶液作外标测固体  $\beta$  相的 $^{27}\text{Al}$  NMR 谱。

溶液的 Raman 光谱由 SPEX RAMALOG 型 Raman 光谱仪测得,  $\text{Ar}^+$  激光源, 激发功率

① 收稿日期: 1995-01-24

为 600 mW。

## 2 实验结果

### 2.1 不同浓度铝酸钠溶液的紫外光谱

在以前的工作中，我们曾对中浓度以下的铝酸钠溶液的紫外光谱作了较详尽的研究，发现较浓溶液在 270 nm 处有一吸收峰<sup>[5]</sup>，我们认为是 $[(\text{HO})_3\text{Al}-\text{O}-\text{Al}(\text{OH})_3]^{2-}$ ；高苛性比浓溶液含有 $\text{Al}(\text{OH})_6^{3-}$ <sup>[3]</sup>，它在 200~290 nm 范围有一宽吸收峰<sup>[6]</sup>。本工作中，我们比较了含 $\text{Al}_2\text{O}_3$  612 g/L 的特浓溶液和一般铝酸钠溶液的紫外光谱，如图 1 所示。

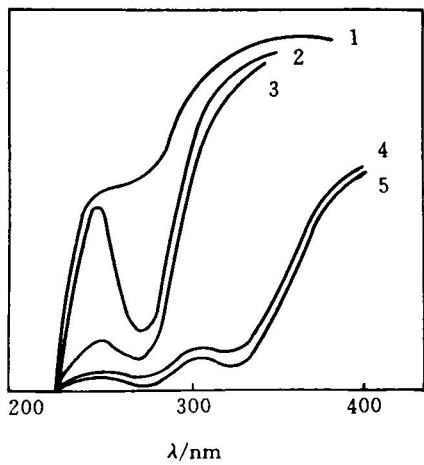


图 1 铝酸钠溶液的紫外光谱

- 1— $\text{Al}_2\text{O}_3$  61.2 g/L,  $\text{Na}_2\text{O}$  74.4 g/L;
- 2— $\text{Al}_2\text{O}_3$  260 g/L,  $\text{Na}_2\text{O}$  229 g/L;
- 3— $\text{Al}_2\text{O}_3$  237 g/L,  $\text{Na}_2\text{O}$  259.7 g/L;
- 4— $\text{Al}_2\text{O}_3$  612 g/L,  $\text{Na}_2\text{O}$  558 g/L;
- 5— $\text{Al}_2\text{O}_3$  612 g/L,  $\text{Na}_2\text{O}$  744 g/L;

由图 1 可看出：特浓铝酸钠溶液(曲线 4、5)除 270 nm 处有吸收峰外，在 332 nm 附近又多出一个吸收峰，这表明特浓溶液除了含有 $\text{Al}(\text{OH})_4^-$ 、 $\text{Al}(\text{OH})_6^{3-}$ 、 $[(\text{HO})_3\text{Al}-\text{O}-\text{Al}(\text{OH})_3]^{2-}$ 等离子外，尚存在另外的离子；鉴于其吸收峰波长更长，且仅在浓溶液中显著存在，应是聚合程度较二聚体更高的寡聚铝酸离子。

### 2.2 不同浓度铝酸钠溶液的红外光谱

在对中浓度以下铝酸钠溶液的红外光谱的研究中，我们曾经发现了 $\text{Al}(\text{OH})_4^-$  和 $[(\text{HO})_3\text{Al}-\text{O}-\text{Al}(\text{OH})_3]^{2-}$ 的若干特征峰。在这里，我们比较了含 $\text{Al}_2\text{O}_3$  612 g/L 的特浓溶液和一般溶液的红外光谱，所得结果如图 2 所示。两种含水铝酸钠固体 $\alpha$ 、 $\beta$  相以及铝酸钾固体 $\text{K}_2[(\text{HO})_3\text{AlOAl}(\text{OH})_3]$ 的红外光谱也在此给出，以便比较。

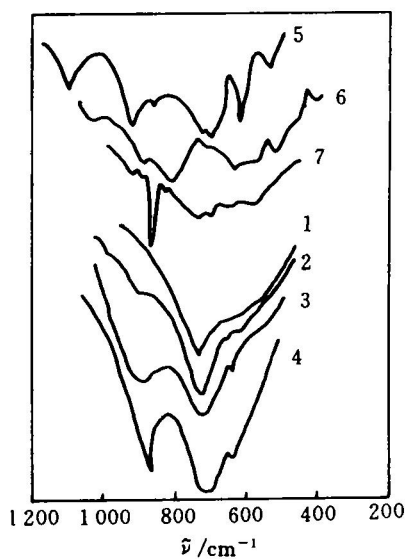


图 2 铝酸钠溶液和某些铝酸盐  
固体的红外光谱

- 1— $\text{Al}_2\text{O}_3$  61.2 g/L,  $\text{Na}_2\text{O}$  74.4 g/L;
- 2— $\text{Al}_2\text{O}_3$  237 g/L,  $\text{Na}_2\text{O}$  259.7 g/L;
- 3— $\text{Al}_2\text{O}_3$  612 g/L,  $\text{Na}_2\text{O}$  558 g/L;
- 4— $\text{Al}_2\text{O}_3$  612 g/L,  $\text{Na}_2\text{O}$  744 g/L;
- 5— $\text{K}_2[(\text{HO})_3\text{AlOAl}(\text{OH})_3]$  固体;
- 6— $\alpha$  相;
- 7— $\beta$  相

从图 2 可看出：特浓铝酸钠溶液(曲线 3、4)在 863 cm<sup>-1</sup>处有一特征峰，和固体的 IR 光谱对照可发现，它与 $\beta$  相( $3\text{Na}_2\text{O} \cdot \text{Al}_2\text{O}_3 \cdot 6\text{H}_2\text{O}$ )的红外特征峰颇为接近。根据 Tarte 的研究结果<sup>[6]</sup>，红外吸收峰 863 cm<sup>-1</sup>应该对应于由 $\text{AlO}_4$  四面体缩聚离子所引起的峰。为了验证这一结论，我们还测了 $\beta$  相的<sup>27</sup>Al 的 NMR

谱, 发现 $^{27}\text{Al}$ 的化学位移在72.99处(如图3所示), 确实对应于 $\text{AlO}_4$ 四面体或缩聚 $\text{AlO}_4$ 结构<sup>[7]</sup>; 而且, 特浓铝酸钠溶液和 $\beta$ 相的红外光谱与 $\text{K}_2[(\text{HO})_3\text{AlOAl}(\text{OH})_3]$ 的IR谱有较大差异, 后者已用X射线方法确定其中存在 $[(\text{HO})_3\text{AlOAl}(\text{OH})_3]^{2-}$ 二聚离子<sup>[8]</sup>。由此说明: 特浓铝酸钠溶液存在与 $[(\text{HO})_3\text{Al-O-Al}(\text{OH})_3]^{2-}$ 不同的由 $\text{AlO}_4$ 四面体组成的寡聚铝酸离子。

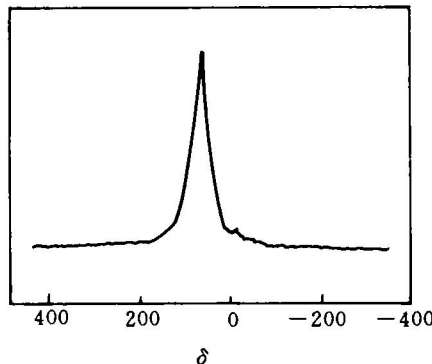


图3 含水铝酸钠固体 $\beta$ 相的 $^{27}\text{Al}$  NMR谱

### 2.3 不同浓度铝酸钠溶液的 Raman 光谱

各种浓度铝酸钠溶液的 Raman 光谱示于图4。比较可见, 稀溶液(曲线1)在 $625\text{ cm}^{-1}$ 处有一特征峰, 对应于 $\text{Al}(\text{OH})_4^-$ 离子; 一般浓溶液(曲线2)在 $540\text{ cm}^{-1}$ 和 $704\text{ cm}^{-1}$ 处多出两个特征峰, 对应于 $[(\text{HO})_3\text{Al-O-Al}(\text{OH})_3]^{2-}$ ; 特浓溶液(曲线3、4)在 $440\text{ cm}^{-1}$ 处又多一特征峰, 与 $\alpha$ 相的 Raman 峰相对应。图2中 $\alpha$ 相的红外光谱表明其所含铝酸离子应为由缩聚 $\text{AlO}_4$ 四面体组成的阴离子<sup>[1]</sup>, 这和 Gessner<sup>[9]</sup>对 $\alpha$ 相 $^{27}\text{Al}$  NMR 谱的研究结论相一致。由此也说明, 特浓铝酸钠溶液中含有除 $\text{Al}(\text{OH})_4^-$ 、 $[(\text{HO})_3\text{Al-O-Al}(\text{OH})_3]^{2-}$ 以外的由 $\text{AlO}_4$ 四面体组成的寡聚铝酸离子, 鉴于高浓度铝酸钠溶液以及 $\beta$ 相的光谱都有 $\text{Al-O-Al}$ 集团的特征峰, 这些离子很可能具有下列一类结构:

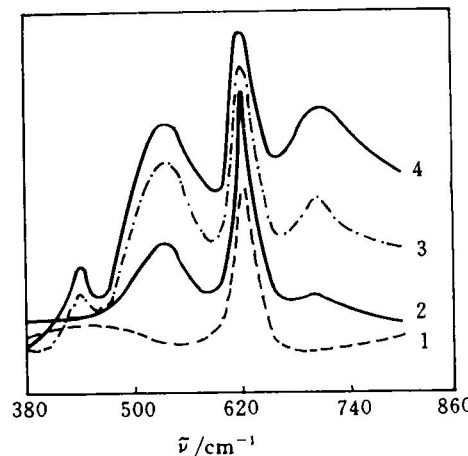
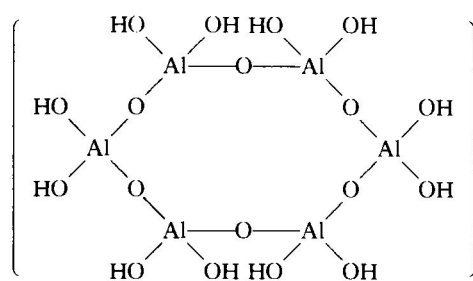
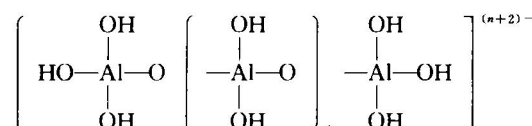


图4 铝酸钠溶液的 Raman 光谱

- 1— $\text{Al}_2\text{O}_3$  61.2 g/L,  $\text{Na}_2\text{O}$  74.4 g/L;
- 2— $\text{Al}_2\text{O}_3$  260 g/L,  $\text{Na}_2\text{O}$  229 g/L;
- 3— $\text{Al}_2\text{O}_3$  612 g/L,  $\text{Na}_2\text{O}$  558 g/L;
- 4— $\text{Al}_2\text{O}_3$  612 g/L,  $\text{Na}_2\text{O}$  744 g/L

### 3 结论

本工作中, 我们利用紫外、红外、Raman 光谱和 NMR 谱方法, 研究了特浓铝酸钠溶液和含水铝酸钠固体 $\alpha$ 、 $\beta$ 相, 得出如下结论:

(1) 特浓铝酸钠溶液除含 $\text{Al}(\text{OH})_4^-$ 和 $[(\text{HO})_3\text{Al-O-Al}(\text{OH})_3]^{2-}$ 离子外, 尚含有其他缩聚铝酸离子。

(2)  $\alpha$ 、 $\beta$ 相初晶区范围的过饱和溶液中, 可能含有 $\alpha$ 、 $\beta$ 相所含有的铝酸阴离子, 它们都是由 $\text{AlO}_4$ 四面体组成的缩聚离子, 其组成和结构应不同于 $[(\text{HO})_3\text{Al-O-Al}(\text{OH})_3]^{2-}$ 。由于 $\alpha$ 相和 $\beta$ 相单晶未能制取, 难于用 X 射线衍射确定晶体中原子的排列, 这些缩聚离子的离子结构尚待进一步研究。

## 参考文献

- 1 Moolenaar R J, Evans J C, McKeever L D. *J Phys Chem*, 1970, 74(20): 3629.
- 2 陈念贻. 氧化铝生产的物理化学. 上海: 上海科技出版社, 1962.
- 3 柳妙修, 曹益林, 陈念贻. 金属学报, 1991, 27(6): B443.
- 4 Kuznetsov S I, Dereogankin V A. *Physical Chemistry of Aluminum Production by the Bayer Method. Moscow: Metallurgy Publishing House, 1964.*
- 5 Chen Nianyi, Liu Miaoziu, Cao Yilin, Tang Bo, Hongmei. *Science in China*, 1993, 36(1): B32.
- 6 Tarte P. *Spectrochimica Acta*, 1967, 23A(7): 2127.
- 7 Akitt J W. *Prog Nucl Magn Reson Spectrsc*, 1970, 21(1-2): 1-149.
- 8 Johansson G. *Acta Chem Scand*, 1966, 20: 505.
- 9 Gessner W, Weinberger M, Muller D. *Z Anorg Alig Chem*, 1987, 27: 547.

## SPECTROSCOPIC STUDY ON HIGHLY CONCENTRATED SODIUM ALUMINATE SOLUTIONS

Qiu Guofang, Chen Nianyi

*Shanghai Institute of Metallurgy, Chinese Academy of Sciences, Shanghai 200050*

Yan Lichen, Li Yu

*Department of Chemistry, Shanghai University, Shanghai 201800*

**ABSTRACT** Raman, UV, IR spectra were used concurrently to study the structure of highly concentrated sodium aluminate solutions. Compared with the spectra of some solid hydrated aluminates, it was concluded that besides  $\text{Al}(\text{OH})_4^-$  and  $[(\text{HO})_3\text{Al}-\text{O}-\text{Al}(\text{OH})_3]^{2-}$  some oligomeric anions consisting of  $\text{AlO}_4$  tetrahedra were formed in these solutions.

**Key words** UV IR Raman spectrum

(编辑 李军)